

بررسی تأثیر نوع و مقدار پلیمر بر قدرت مخاط چسبی و سرعت آزادسازی دارو از فیلم‌های مخاط چسب داخل گونه‌ای دیکلوفناک سدیم

جعفر اکبری^۱

مجید سعیدی^۲

کتابخانه مرتبه سمنانی^۳

مسعود عامری^۴

چکیده

زمینه و هدف: دارورسانی داخل گونه‌ای یک جایگزین مناسب برای تجویز دارو از راه خوراکی و یک روش مناسب تجویز، جهت عملکرد سیستمیک و موضعی دارو است. جذب عوامل درمانی از حفره‌ی دهان باعث ورود مستقیم این عوامل به گردش خون سیستمیک می‌شود. بنابراین از اثر گذر اول کبدی و تخریب گوارشی ممانعت به عمل می‌آید. هدف از این مطالعه، توسعه و توصیف فیلم‌های داخل گونه‌ای دیکلوفناک سدیم بوده است.

مواد و روش‌ها: فیلم‌های داخل گونه‌ای دیکلوفناک سدیم با استفاده از روش تبخر حلال تهیه شدند. اوراژیت ۵۵-۱۰۰ L به عنوان پلیمر تشکیل دهنده فیلم و هیدروکسی پروپیل متیل سلولز M_۶ و پلی وینیل پیرولیدون K_{۲۵} به عنوان پلیمرهای مخاط چسب مورد استفاده قرار گرفتند. تأثیر مقدار و نوع پلیمر در سرعت آزادسازی دارو، سرعت تورم، فرایش و قدرت مخاط چسبی فیلم‌ها بررسی شد.

یافته‌ها: افزودن هیدروکسی پروپیل متیل سلولز M_۶ باعث کاهش سرعت رهش دارو می‌شود اما اضافه نمودن پلی وینیل پیرولیدون K_{۲۵} باعث افزایش سرعت آزادسازی دارو می‌گردد. افزودن پلیمرهای هیدروفیل افزایش قابل توجهی در درصد تورم فیلم‌ها دارد. هم‌چنین افزودن هیدروکسی پروپیل متیل سلولز M_۶ باعث کاهش درصد فرایش و افزایش قدرت مخاط چسبی می‌گردد.

استنتاج: نتایج مطالعه حاضر نشان داد که فیلم‌های داخل گونه‌ای اوراژیت به خوبی می‌تواند به عنوان حامل مخاط چسب در دارورسانی داخل گونه‌ای سیستمیک برای داروهای متابولیسم بالای گذر اول کبدی، مورد استفاده قرار گیرد. هم‌چنین نتایج به دست آمده از این مطالعه، اثر پلیمرهای هیدروفیل بر الگوی رهش دارو و دیگر خصوصیات فیلم‌ها را اثبات می‌کند.

واژه‌های کلیدی: فیلم داخل گونه‌ای، مخاط چسبی، دیکلوفناک، اوراژیت ۵۵-۱۰۰ L

مقدمه

راه‌های مختلف دارورسانی از قبیل خوراکی، تزریقی، استنشاقی و پوستی برای آزادسازی دارو به جریان خون سیستمیک مورد استفاده قرار می‌گیرد که در بین راه‌های تجویز دارو، دارورسانی خوراکی به

E-mail: akbari_j@yahoo.com

مولف مسئول: جعفر اکبری - ساری: کیلومتر ۱۸ جاده خزرآباد، مجتمع دانشگاهی پامبر اعظم، دانشکده داروسازی

۱. گروه فارماسویوتیکس، دانشکده داروسازی، دانشگاه علوم پزشکی مازندران، ساری، ایران

۲. مرکز تحقیقات علوم دارویی، دانشکده داروسازی، دانشگاه علوم پزشکی مازندران، ساری، ایران

۳. گروه شیمی دارویی، دانشکده داروسازی، دانشگاه علوم پزشکی مازندران، ساری، ایران

۴. دانشجوی داروسازی، کمیته تحقیقات دانشجویی، دانشکده داروسازی، دانشگاه علوم پزشکی مازندران، ساری، ایران

تاریخ دریافت: ۱۴۰۲/۱۰/۱۸ تاریخ ارجاع چهت اصلاحات: ۱۳۹۲/۱۰/۲۱ تاریخ تصویب: ۱۳۹۲/۱۰/۲۱

از K₃₀ و سدیم آلثینات استفاده شد. نتایج به دست آمده از این مطالعه نشان می داد که افزایش مقدار PVP در فرمولاسیون ها، سبب افزایش سرعت آزادسازی دارو از فیلم های داخل گونه ای می شود(۸). هم چنین در مطالعه ای که از K_{4M} HPMC و PVA برای تهیه فیلم های داخل گونه ای سیپروفلوکسیسین استفاده شد، نتایج نشان داد که افزایش مقدار HPMC K_{4M} در فرمولاسیون ها باعث کند شدن رهش دارو می شود. هم چنین باعث افزایش قدرت مخاط چسبی و تورم فیلم ها می شود(۹). دیکلوفناک سدیم یک داروی ضد التهاب غیر استروئیدی قوی است که جهت درمان درد والتهاب در اختلالات روماتیسمی، عضلانی- اسکلتی و دردهای بعد از عمل های جراحی مورد استفاده قرار می گیرد. شاخص درمانی باریک دیکلوفناک ناشی از نیمه عمر بیولوژیکی کوتاه آن می باشد و به دلیل اثر گذار اول کبدی تنها حدود ۵۰ درصد از این دارو به صورت سیستمیک در دسترس می باشد. خصوصیات فیزیکی و شیمیایی دیکلوفناک از قبیل نیمه عمر کوتاه ۳۱۸/۱۳ (۱/۵ ساعت) و وزن مولکولی پایین (۱۱، ۱۰) هاست. هدف از این مطالعه تهیه فیلم های داخل گونه ای دیکلوفناک سدیم برای اثرات ضد دردی و ضد التهابی در حفره دهان می باشد که از اودرایزیت ۵۵-۱۰۰ L به عنوان پلیمر پایه در تهیه فیلم ها استفاده شد. هم چنین پلیمر های PVP K₂₅ و K_{4M} Hydroxypropyl مخاط چسب جهت فراهم آوردن فیلم هایی با خواص زیست چسبی مناسب و اصلاح سرعت آزادسازی دارو، به فیلم های اودرایزیت اضافه شد.

مواد و روش ها

جهت انجام این مطالعه آزمایشگاهی، از دیکلوفناک سدیم تهیه شده از شرکت البرز دارو ایران، پلی وینیل پیرولیدون K₂₅ و پتاسیم هیدروژن فسفات

دلیل مزیت هایی از جمله تجویز آسان و پذیرش از سوی بیماران، نسبت به سایر روش های تجویز، کاربرد بیشتری پیدا کرده است(۲،۱). دارورسانی خوراکی معایبی هم دارد که شامل حذف دارو پیش از جذب سیستمیک به دلیل وجود آنزیم های هیدرولیز کننده دستگاه گوارش به ویژه در معده و نیز اثر گذار اول کبدی می باشد. از طرفی در سال های اخیر آزادسازی عوامل درمانی از طریق راه های مخاطی بسیار مورد توجه قرار گرفته است. در این میان دارورسانی از طریق مخاط دهان بیشتر مورد توجه قرار گرفته است(۳). دارورسانی از طریق مخاط دهان از سه طریق زیرزبانی، داخل گونه ای و لثه ای صورت می پذیرد. جذب عوامل درمانی از حفره دهان به دلیل وجود عروق خونی فراوان در حفره دهان، سبب ورود مستقیم این عوامل درمانی به گردش خون سیستمیک می شود(۴). در سال های اخیر برای دارورسانی داخل گونه ای اشکال مختلف مخاط چسب شامل قرص ها، فیلم ها، پیچ ها، پمادها و ژل ها توسعه یافته اند که در این بین، فیلم های داخل گونه ای بیشتر مورد توجه واقع شده است(۵). فیلم های داخل گونه ای از نظر ماندگاری در مخاط دهان نسبت به ژل های داخل گونه ای بهتر هستند زیرا ژل ها به راحتی توسط بزاق از محل شسته و برداشته می شوند. همچنین به دلیل انعطاف پذیری و مصرف آسان به قرص های داخل گونه ای، ترجیح داده می شود(۶).

در مطالعه ای برای تهیه فیلم های داخل گونه ای پروپرانولول هیدروکلراید از اودرایزیت ۱۰۰ L به عنوان پلیمر پایه استفاده شد و تأثیر دو پلیمر هیدروفیل Carbopol ۹۳۴ و Polyvinylpyrrolidone K₃₀ سرعت رهش دارو بررسی شد. نتایج به دست آمده نشان داد که استفاده از Polyvinylpyrrolidone(PVP) به دلیل این که قادر به تشکیل لایه ژل مستحکم نمی باشد، سبب افزایش اتحال و افزایش سرعت آزادسازی دارو می شود(۷).

در مطالعه دیگری برای تهیه فیلم های کارودیلول،

جدول شماره ۱: میزان کلی مواد تشکیل دهنده فرمولاسیون ها بر حسب میلی گرم در هر پتربی دیش

اجزاء، تشکیل دهنده فرمولاسیون (mg)					
Glycerin	PVP K25	HPMC K4M	Eudragit L _{100,55}	Drug	کد فرمولاسیون
۱۶۰	—	—	۱۳۰۰	۱۰۰	F _۱
۱۶۰	—	۵۰	۱۲۵۰	۱۰۰	F _۲
۱۶۰	—	۱۰۰	۱۲۰۰	۱۰۰	F _۳
۱۶۰	—	۱۵۰	۱۱۵۰	۱۰۰	F _۴
۱۶۰	۵۰	—	۱۲۵۰	۱۰۰	F _۵
۱۶۰	۱۰۰	—	۱۲۰۰	۱۰۰	F _۶
۱۶۰	۱۵۰	—	۱۱۵۰	۱۰۰	F _۷

بررسی سرعت آزادسازی دارو از فیلم ها
جهت بررسی سرعت آزادسازی دارو از فیلم های مخاط چسب داخل گونه ای فارماکوپه ایالات متحده استفاده شد. محیط انحلال شماره ۲ فسفات با pH=۶/۲ برابر با ۹۰۰ میلی لیتر و دمای محیط ۳۷ درجه سانتی گراد بوده و دور دستگاه روی ۱۰۰ دور در دقیقه تنظیم شد. فیلم ها با وزن مشخص و برابر در محیط های انحلال انداخته شد و در فواصل زمانی ۱۵ دقیقه ای از محیط ها نمونه برداری صورت پذیرفت و جذب نوری نمونه ها توسط اسپکتروفوتومتر در طول موج ۲۷۴/۵ نانومتر قرائت و توسط منحنی استاندارد غلاظت ها محاسبه شد(۱۲).

تعیین میزان تورم فیلم ها

جهت بررسی میزان تورم فیلم ها از دستگاه شماره ۲ فارماکوپه ایالات متحده و بافر فسفات با pH برابر با ۶/۲ و سرعت چرخش ۱۰۰ دور در دقیقه و دمای ۳۷ درجه سانتی گراد استفاده شد. فیلم های خشک پس از توزین داخل سبد های دستگاه انحلال قرار داده شد و در محیط انحلال غوطه ور شد. در فواصل زمانی مشخص سبد ها از محیط انحلال خارج گردید و دوباره فیلم ها توزین شدند و میزان تورم فیلم ها از طریق فرمول زیر محاسبه گردید(۱۱):

$$\text{Water uptake\%} = (W_2 - W_1 / W_1) \times 100$$

W₁ = وزن ابتدایی فیلم

W₂ = وزن فیلم خیس که همان لحظه از محیط بیرون

آورده شده

تهیه شده از شرکت مرک آلمان، او در ازیت ۵۵-۱۰۰ L تهیه شده از شرکت فارما پلیمر آلمان، هیدروکسی Colorcon پروپیل متیل سلوژ K4M تهیه شده از شرکت انگلستان و سدیم هیدروکساید، اتانول مطلق و گلیسیرین تهیه شده از شرکت Scharlau اسپانیا، استفاده شد. کلیه آزمایشات سه مرتبه تکرار شد.

تهیه فیلم ها

برای تهیه فیلم های مخاط چسب داخل گونه ای دیکلوفناک سدیم، روش تبخیر حلال مورد استفاده قرار گرفت. ابتدا مقدار موردنیاز از دارو، پلیمر پایه و پلیمر کمکی توزین شد (جدول شماره ۱). سپس ۳۰ سی سی اتانول مطلق در یک بشر ریخته و زیر دستگاه همزن بر قی آماده اضافه نمودن سایر مواد گردید. ابتدا پلیمر پایه آرام آرام به بشر اضافه شد در حالی که دستگاه همزن با سرعت چرخش ۶۰۰ دور در دقیقه در حال هم زدن محتوای داخل بشر بود، پس از حل شدن پلیمر پایه در اتانول، پلیمر کمکی نیز به آرامی اضافه شد. پس از حل شدن پلیمر کمکی در محتوای بشر داروی وزن شده در مقدار کمی اتانول مطلق حل شده و به آرامی به بشر در حال هم خوردن، اضافه شد. عمل هم زدن تا حاصل شدن یک محلول شفاف، توسط دستگاه ادامه یافت. در پایان گلیسیرین به مقدار ۱۶۰ میلی گرم به بشر حاوی محلول اضافه شد و عملیات هم زدن به منظور پراکندگی یکنواخت گلیسیرین در محلول فیلم، ادامه یافت. پس از تهیه محلول فیلم، سطح داخلی پتربی دیش تمیز با مقدار ناچیزی از سیلیکون چرب شد و به میزان ۲۵ سی سی از محلول تهیه شده در پتربی دیش ریخته و در یک سطح هموار در دمای اتاق قرار داده شد تا اتانول موجود در پتربی دیش تبخیر شود. پس از گذشت ۲۴ تا ۴۸ ساعت و تبخیر حلال، فیلم شفاف و نازک از پتربی دیش جدا شد و تست های مربوطه انجام شد(۷). ضخامت فیلم های تهیه شده در محدوده ۰/۴۴۷۰ تا ۰/۴۹۷۳ میلی متر قرار داشت.

مجدور ثانیه، ۲ شاعع فیلم بر حسب متر و mL برابر با $2/14$ می باشد. همچنین وزن ظرف و آب داخل آن بر حسب گرم است (۱۳).

اسپکتروسکوپی

جهت بررسی برهمکنش احتمالی میان دارو و اجزای فرمولاسیون از روش Fourier Transform infrared spectroscopy (FTIR) استفاده شد. به این منظور از دستگاه Perkin-Elmer Spectrum One مورد نیاز برای انجام آزمایش، هر یک از میلی متری ساخت آلمان استفاده شد. جهت تهیه دیسک‌های ۱۰ میلی متری موردنیاز با پتانسیم بر ماید مخلوط شد نمونه‌ها به نسبت یک به پنج با پتانسیم بر ماید مخلوط شد و به مدت ۱۵ ثانیه تحت فشار سه تا شش تن قرار گرفت. دقیق اسکن $0/5 \text{ cm}^{-1}$ و محدوده اسکن $4000 - 400 \text{ cm}^{-1}$ بود.

Differential Scanning Calorimetry (DSC)

جهت بررسی تغییرات احتمالی در فرم تبلور یا آمورف دارو از روش DSC استفاده شد (Perkin-Elmer pyris) ساخت آلمان). برای انجام این تست، ۵ میلی گرم از هر نمونه برداشته شده و به صورت پرس شده به پنهانی آلومینیومی دستگاه منتقل گردید. دستگاه با سرعت ۱۰ درجه سانتی گراد در هر دقیقه دما را افزایش داده و به این ترتیب، نمونه‌ها در محدوده 300 تا 300 درجه سانتی گراد تحت تأثیر گرمای قرار گرفتند. سرعت جريان بخار نیتروژن موجود در دستگاه 50 میلی لیتر در هر دقیقه بود.

بررسی کیتیک رهش دارو

بررسی کیتیک آزادسازی دارو بر اساس چهار مدل درجه صفر، درجه یک، هیگوشی و پیاس انجام پذیرفت. جهت بررسی کیتیک آزادسازی، داده‌های حاصل به مدل‌های درجه صفر، درجه یک، هیگوشی و پیاس پردازش شد و بر اساس تعیین ضریب (r^2) و مجموع مربعات تفاضل (ss)، مدل‌های کیتیکی مورد بررسی قرار گرفتند.

تعیین میزان فرسایش فیلم ها

میزان فرسایش فیلم‌ها هم همانند بررسی میزان تورم و با همان شرایط انجام شد. فقط در آخر پس از این که در فواصل زمانی مشخص سبدها بیرون آورده شد، در دمای 60 درجه سانتی گراد خشک شده و سپس مجددآ تو زین شدند و میزان فرسایش با استفاده از فرمول زیر محاسبه شد (۱۱):

$$\text{Erosion\%} = (W_1 - W_3 / W_1)$$

W_1 = وزن ابتدایی فیلم

W_3 = وزن فیلم پس از خشک شدن

تعیین قدرت مخاط چسبی فیلم ها

برای تعیین قدرت چسبندگی فیلم‌های مخاط چسب از دستگاهی متشکل از دو قرقره، یک لیوان پلاستیکی سبک، یک آمپول دکانتاسیون و یک ظرف حاوی سدیم آژرینات 10 درصد استفاده شد. در این روش ابتدا با استفاده از چسب مایع یک قطعه نخ به طول مناسب و ثابت به فیلم وصل شد و از سمت دیگر، این نخ به لیوان پلاستیکی متصل گردید. جهت جلوگیری از اعمال نیروی وزن ظرف، قبل از قرار دادن فیلم به سطح ژل سدیم آژرینات، از یک صفحه بالا برندۀ در زیر لیوان پلاستیکی استفاده شد. برای انجام این آزمایش، سطح فیلم با آب ترشیده و بر سطح ژل قرار گرفت و به مدت دو دقیقه صبر نموده تا این چسبندگی به خوبی صورت پذیرد. سپس بعد از پایین بردن صفحه متحرک زیر لیوان پلاستیکی، این لیوان آویزان می‌ماند و آب توسط آمپول دکانتاسیون، قطره قطره به درون لیوان می‌ریخت تا زمانی که فیلم از سطح ژل سدیم آژرینات جدا شود. سپس لیوان پلاستیکی و آب درون آن تو زین شده و توسط فرمول زیر، قدرت مخاط چسبی فیلم‌ها محاسبه می‌شد:

$$\text{وزن ظرف و آب داخل آن} \times 1000 / \text{mL}^2 = \text{قدرت مخاط چسبی}$$

در این فرمول، g شتاب جاذبه بر حسب متر بر

آنالیز آماری

جهت بررسی داده‌های حاصل از آزمون رهش دارو از آنالیز واریانس و آزمون توکی (Tukey Test) استفاده گردید و ارزش P کوچکتر از ۰/۰۵ به عنوان مبنای در نظر گرفته شد.

یافته ها

نتایج حاصل از بررسی روند رهش دارو از فیلم ها در نمودارهای شماره ۱ و ۲ قابل مشاهده می‌باشد. در فرمولاسیون F_۱ از اودرایزیت ۵۵-۱۰۰ L به تهایی استفاده گردید. نتایج به دست آمده از بررسی سرعت آزادسازی دارو از فرمولاسیون F_۱ نشان می‌دهد که پس از گذشت یک ساعت، ۷۰/۴۵ درصد دارو از فیلم آزاد شده است. در فرمولاسیون F_۲ و F_۳ و F_۴ به ترتیب از هیدروکسی پروپیل متیل سلولز K_۴M به میزان ۱۰۰، ۵۰ و ۱۵۰ میلی‌گرم برای تغییر دادن خصوصیات فیلم های اودرایزیت استفاده شده است. بررسی‌ها نشان می‌دهد که پس از گذشت یک ساعت، ۶۲/۱۴۷ درصد دارو از فرمولاسیون F_۲ درصد دارو از فرمولاسیون F_۴، آزاد شده و ۴۶/۸۲۲ درصد دارو از فرمولاسیون F_۳ آزاد شده است و این مقادیر کمتر از داروی آزاد شده از فرمولاسیون F_۱ می‌باشد (۰/۰۱). در فرمولاسیون‌های F_۵ و F_۶ به جای هیدروکسی پروپیل متیل سلولز، با همان مقابراز پلی وینیل پیرولیدون K25 برای تغییر دادن خصوصیات فیلم های اودرایزیت استفاده شد. برای این فرمولاسیون‌ها بررسی‌ها نشان می‌دهد که پس از گذشت یک ساعت، ۷۸/۳۳۵ درصد دارو از فرمولاسیون F_۵، ۹۷/۴۱ درصد دارو از فرمولاسیون F_۶، آزاد شده است و این مقادیر بیشتر از داروی آزاد شده از فرمولاسیون F_۱ می‌باشد (۰/۰۱).

نتایج حاصل از بررسی میزان تورم فیلم‌ها به شرح زیر می‌باشد. فرمولاسیون F_۱ که در تهیه آن فقط از پلیمر اودرایزیت استفاده شده است، در مدت ۳۰ دقیقه

براساس مدل درجه صفر، مقدار داروی حل شده به میزان داروی اولیه وابسته نیست:

$$Q = K_0 \cdot t$$

در این رابطه Q، مقدار داروی حل شده تا زمان t و K_۰، ثابت سرعت درجه صفر می‌باشد (۱۱). بر اساس مدل درجه یک، تغییرات مقدار تام دارو نسبت به زمان با توان اول مقدار داروی حل نشده نسبت مستقیم دارد. این رابطه به صورت زیر نیز بیان می‌شود:

$$\ln M = \ln M_0 - K_1 \cdot t$$

در این رابطه M، مقدار داروی حل نشده در زمان t، M_۰ مقدار داروی تام و k_۱ ثابت سرعت درجه یک است. مدل هیگوشی در بیان رهش دارو از ماتریکس‌های همگن به کار می‌رود. در این حالت رهش دارو به وسیله نفوذ مواد محلول در ماتریکس کنترل و محدود می‌شود و مکانیسم آزادسازی از دیفوزیون پیروی می‌کند. در این مدل مقدار داروی حل شده با ریشه دوم زمان در ارتباط است. در صورتی که غلظت دارو در ماتریکس را با A، حلایت اشباع را با C_s و ضریب انتشار را با D نشان دهیم، این رابطه به صورت زیر بیان می‌گردد (۱۴، ۱۵).

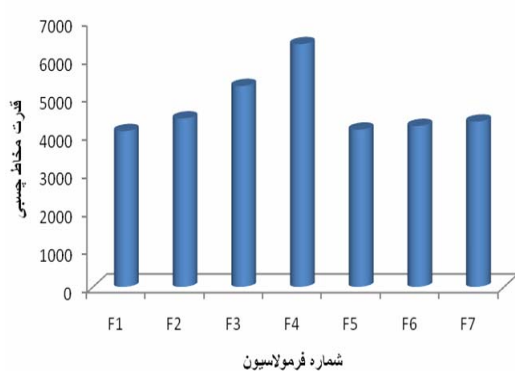
$$Q = [D \cdot C_s (2A - C_s)] t^{0.5} = K \cdot t^{0.5}$$

براساس مدل پیاس، جزء داروی آزاد شده وابسته به توان n ام زمان می‌باشد و به صورت زیر بیان می‌گردد:

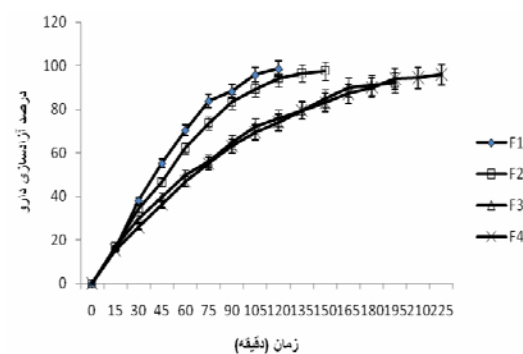
$$M_t / M_\infty = K_p \cdot t^n$$

در این رابطه n، معرف مکانیسم رهش دارو می‌باشد. به طور خلاصه در تفسیر این امر می‌توان این گونه بیان نمود که اگر n برابر با ۰/۵ باشد، مکانیسم آزادسازی دارو از قانون انتشار فیک پیروی می‌کند. اگر n بین ۰/۵ تا ۱ باشد، هر دو پدیده انتشار و فرسایش در آزادسازی دارو مؤثر می‌باشد و اگر n برابر با ۱ باشد، رهش دارو از مدل درجه صفر پیروی نموده و مستقل از زمان می‌باشد (۱۶).

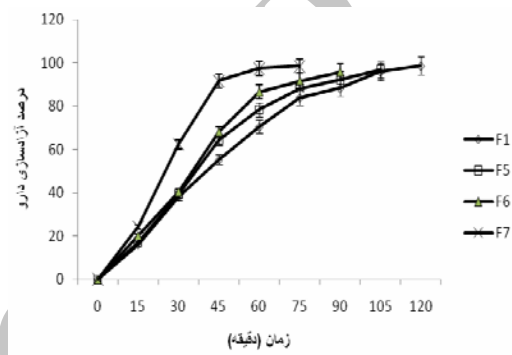
فرمولاسیون ۵۳/۹۱ درصد است. فرمولاسیون‌های F₂ در مدت ۱۵۰ دقیقه و F₄ در مدت ۱۸۰ دقیقه، به طور کامل وارد محیط انحلال می‌شوند و پس از گذشت یک ساعت درصد فرسایش این سه فرمولاسیون به ترتیب ۴۷/۵۱، ۳۸/۸۸۸ و ۳۰/۹۶۸ درصد می‌باشد (p < ۰/۰۵). هم‌چنین پس از گذشت یک ساعت درصد فرسایش فرمولاسیون‌های F₅، F₆ و F₇ به ترتیب ۶۱/۴۳۳، ۶۱/۸۵۴ و ۶۸/۳۱۹ درصد می‌باشد (p < ۰/۰۵). نتایج به دست آمده از بررسی قدرت مخاط چسبی فرمولاسیون‌ها در نمودار شماره ۳ آورده شده است. در فرمولاسیون F₁ که تنها از اوردازیت در تهیه آن استفاده شد، نیروی مخاط چسبی برابر ۴۰۹۱ N/m² می‌باشد. با اضافه کردن مقادیر هیدروکسی پروپیل متیل سلولز به فرمولاسیون‌های F₂، F₃ و F₄، شاهد افزایش قدرت مخاط چسبی بودیم. با افزایش ۵۰ میلی گرم هیدروکسی پروپیل متیل سلولز K₄M میزان نیروی مخاط چسبی به ۴۴۲۲ N/m² افزایش می‌یافتد. هم‌چنین این مقدار برای فرمولاسیون‌های F₃ و F₄ که میزان بیشتری هیدروکسی پروپیل متیل سلولز K₄M دارند، به ترتیب ۵۲۷۴ N/m² و ۶۳۷۳ N/m² محاسبه شد (p < ۰/۰۰۱). اما برای فرمولاسیون‌های F₅، F₆ و F₇ برخلاف فرمولاسیون‌های F₂، F₃ و F₄، با افزایش مقدار پلی وینیل پیرولیدون تفاوت چندانی در قدرت مخاط چسبی فیلم‌ها مشاهده نشد (p > ۰/۰۵).



نمودار شماره ۳: نمودار ستونی مقایسه ای قدرت مخاط چسبی فرمولاسیون‌ها



نمودار شماره ۱: روند آزادسازی دارو از فرمولاسیون‌های F₁، F₂، F₃، F₄



نمودار شماره ۲: روند آزادسازی دارو از فرمولاسیون‌های F₁، F₂، F₅، F₆، F₇

به حداکثر میزان تورم خود رسید که این مقدار برای این فرمولاسیون، ۱۵۱/۷۹۷ درصد می‌باشد. در فرمولاسیون‌های F₂، F₃ و F₄ با افزایش مقدار هیدروکسی پروپیل متیل سلولز، حداکثر میزان تورم نیز افزایش می‌یابد و این مقادیر به ترتیب برای فرمولاسیون‌های F₂، F₃ و F₄ ۲۲۱/۵۰۶، ۱۹۴/۳۱۲ و ۲۳۵/۳۵۹ می‌باشد (p < ۰/۰۵). هم‌چنین در فرمولاسیون‌های F₅، F₆ و F₇ نیز با افزایش مقدار پلی وینیل پیرولیدون درصد تورم فیلم‌ها افزایش می‌یابد. به طوری که حداکثر میزان تورم فرمولاسیون‌های F₅، F₆ و F₇ به ترتیب، ۱۸۶/۳۰۹، ۲۱۳/۱۱۴ و ۲۲۰/۴۲۱ می‌باشد (p < ۰/۰۵).

نتایج به دست آمده از بررسی میزان فرسایش فیلم‌ها نشان می‌دهد که فرمولاسیون F₁ که در تهیه آن فقط از پلیمر اوردازیت استفاده شده است، در مدت ۹۰ دقیقه تقریباً به طور کامل وارد محیط انحلال می‌شود. هم‌چنین پس از گذشت یک ساعت درصد فرسایش این

بحث

دارورسانی از طریق مخاط یکی از روش‌های بسیار مؤثر در بهبود فراهمی زیستی داروها می‌باشد که در سال‌های اخیر بسیار مورد توجه قرار گرفته است. جذب عوامل درمانی از حفره دهان، منجر به ورود مستقیم این عوامل به گردش خون سیستمیک می‌شود، در نتیجه تحت تأثیر گذر اول کبدی و تخریب گوارشی قرار نمی‌گیرد. اشکال مختلف مخاط چسب شامل قرص‌ها، فیلم‌ها، پچ‌ها، دیسک‌ها، چسب‌ها، پمادها و ژل‌ها می‌باشد که در میان این اشکال تجویز داخل گونه‌ای، فیلم‌ها توسعه بیشتری پیدا کرده‌اند.

از بین ۲۰ فرمولاسیونی که در این مطالعه تهیه شد، هفت فرمولاسیون که دارای خصوصیات ظاهری مناسبی بودند برای بررسی‌های بعدی انتخاب شده و از نظر سرعت آزادسازی دارو، درصد تورم، درصد فرسایش، قدرت مخاط چسبی و امکان تداخل بین دارو و پلیمر مورد بررسی قرار گرفتند. الگوی رهش دارو از ماتریکس‌های پلیمری تحت تأثیر نوع پلیمر قرار می‌گیرد. هم‌چنین مقدار پلیمر نیز می‌تواند سرعت آزادسازی را تحت تأثیر قرار دهد. به بیان دیگر، نسبت دارو-پلیمر مهم‌ترین فاکتور در تعییر سرعت آزادسازی دارو به حساب می‌آید. مکانیسم‌های احتمالی که به وسیله آن، دارو از ماتریکس‌های پلیمری می‌تواند آزاد گردد عبارتند از انتشار Fickian، انتشار non-Fickian و آزادسازی درجه صفر. اگرچه در عمل دارو از ماتریکس‌های پلیمری توسط ترکیبی از این مکانیسم‌ها آزاد می‌گردد (۱۷).

در مقایسه آزادسازی دارو از چهار فرمولاسیون نخست می‌توان این گونه بیان کرد که با اضافه کردن هیدروکسی پروپیل متیل سلولز به اودراثیت روند آزادسازی دارو از پلیمر در مقایسه با فرمولاسیون F₁ به طور معنی داری کاهش می‌باید. در حقیقت با افزایش مقدار هیدروکسی پروپیل متیل سلولز در فرمولاسیون‌های F₂، F₃ و F₄، این پلیمر آب را به خود

جذب کرده و یک لایه ژل در اطراف فیلم ایجاد می‌نماید. این لایه ژلی با استحکام بالا سبب کنترل شدن فرایند انتشار دارو از فیلم می‌شود (۱۷).

در فرمولاسیون‌های F₅، F₆ و F₇ از پلیمر پلی‌وینیل پیرولیدون استفاده شده است. با افزایش مقدار این پلیمر به اودراثیت، سرعت آزادسازی دارو از پلیمر در مقایسه با فرمولاسیون F₁ به طور معنی داری افزایش می‌باید. در واقع این پلیمر می‌تواند با جذب آب منجر به تسريع انحلال دارو گردد. همچنین در طی فرایند انحلال دارو، پلیمرهای هیدروفیل می‌توانند حل شوند و باعث افزایش میزان تخلخل در فیلم و تسريع رهش دارو شوند. بنابراین می‌توان گفت که پلی‌وینیل پیرولیدون نمی‌تواند یک لایه ژل مستحکم در اطراف فیلم ایجاد نماید و فقط باعث افزایش میزان ترشدن فیلم‌ها و افزایش تخلخل فیلم‌ها می‌شود. در مطالعه‌ای برای تهیه فیلم‌های داخل گونه‌ای آمیلوراید از K₄M HPMC و Carbopol ۹۳۴ استفاده شد. نتایج به دست آمده از این مطالعه نشان داد که افزایش مقدار K₄M HPMC در فرمولاسیون‌ها باعث کاهش سرعت رهش دارو از فیلم‌ها می‌گردد زیرا یک ژل محکم در اطراف فیلم‌ها تشکیل می‌شود (۱۸). هم‌چنین در مطالعه دیگری برای تهیه فیلم‌های داخل گونه‌ای دیکلوفناک سدیم از K₄M PVA و HPMC استفاده شد. نتایج به دست آمده از این مطالعه نشان داد که استفاده از PVA باعث آزادسازی سریع دارو می‌شود در حالی که K₄M HPMC باعث کند شدن رهش دارو می‌گردد (۱۹).

در پدیده تورم، پلیمر در تماس با یک محیط آبی مثل محیط انحلال آزمایشگاه و یا مایعات دستگاه گوارش، آب را جذب کرده و متورم می‌شود و یک لایه ژلی در اطراف ماتریکس تشکیل می‌دهد. این لایه ژلی مستحکم آزادسازی دارو از ماتریکس پلیمری را کنترل می‌کند. در ماتریکس‌های هیدروفیل آزاد شدن دارو یا از طریق انتشار از لایه ژلی و یا از طریق فرسایش ماتریکس صورت می‌گیرد. ماهیت دارو است که

نیروی مخاط چسبی نمایانگر نیرویی است که باعث چسبیدن فیلم‌های مخاط چسب به مخاط می‌شود. پلیمرهای مناسب برای مخاط چسبی می‌بایست دارای گروه‌های تشکیل دهنده‌ی پیوند هیدروژنی باشند و خصوصیات ترپذیری و قابلیت تورم مناسب داشته باشد. سطح مخاط توسط موسین پوشیده شده است و موسین در pH فیزیولوژیک دارای بار منفی است. از طرفی تشکیل پیوندهای هیدروژنی بین گروه‌های عاملی هیدروفیل پلیمرهای مخاط چسب و لایه موکوسی شرط لازم برای مخاط چسبی مناسب و طولانی می‌باشد و هر چقدر نقاط پیوند بیشتر باشد، افزایش قدرت مخاط چسبی مشاهده می‌شود (۲۱).

هم‌چنین پلیمرهایی که دارای وزن مولکولی و ویسکوزیته بالاتر باشند، قدرت مخاط چسبی بیشتری دارند. در مطالعه‌ای قرص‌های مخاط چسب کلاریترومایسین با استفاده از Carbopol ۹۳۴، HPMC K₁₅M و HPMC K₄M تهیه شد. بررسی‌های انجام شده در رابطه با قدرت مخاط چسبی این قرص‌ها نشان داد که پلیمری که دارای بیشترین وزن مولکولی و ویسکوزیته باشد، بالاترین قدرت مخاط چسبی را دارند. هیدروفکسی پروپیل متیل سلولز دارای گروه‌های هیدروفکسی و کربوکسی می‌باشد که در مخاط چسبی بسیار مهم هستند. در مورد قدرت مخاط چسبی باید این نکته هم ذکر شود که قدرت مخاط چسبی می‌تواند تحت تأثیر غلاظت پلیمر مخاط چسب قرار بگیرد (۲۲). از بررسی نتایج به دست آمده از داده‌های مربوط به قدرت مخاط چسبی در این مطالعه می‌توان گفت که قدرت مخاط چسبی فرمولاسیون‌هایی که در آن از پلی‌وینیل پیرولیدون به عنوان پلیمر مخاط چسب استفاده شده به مراتب کمتر از فرمولاسیون‌هایی است که در آن هیدروفکسی پروپیل متیل سلولز به کار رفته است. در بررسی کینتیک رهش دارو از فیلم‌های دیکلوفناک مشاهده شد که در فرمولاسیون F₁ که حاوی پلیمر او در اثریت می‌باشد، کینتیک غالب در رهش دارو، مدل

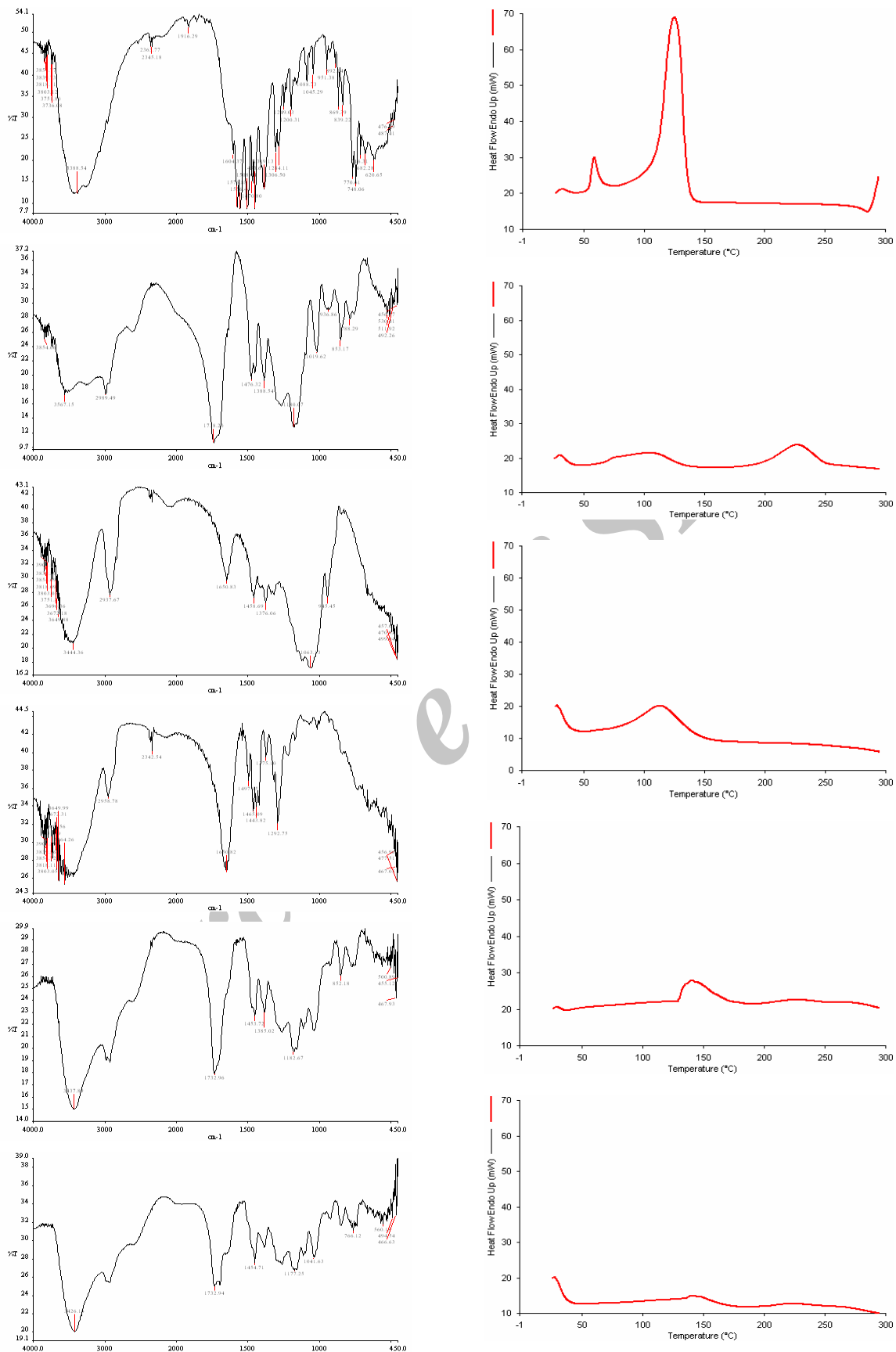
مشخص کننده آن است که کدام فرآیند کنترل کننده رهش دارو از سیستم ماتریکسی باشد. برای داروهای محلول، معمولاً رهش دارو از طریق انتشار از لایه‌ی ژلی صورت می‌گیرد اما در مورد داروهای با حلالیت کم، فرسایش ماتریکس کنترل کننده آزادسازی دارو از ماتریکس است. به بیان دیگر، در کل مجموعه‌ای از سه فرآیند اتحال، تورم و فرسایش رهش دارو از سیستم‌های ماتریکسی هیدروفیل را کنترل می‌کند. ابتدا رشته‌های پلیمری آب را جذب می‌کند و هیدراته می‌شود، سپس از هم گستره و از سطح ماتریکس جدا می‌شود و عمل فرسایش به این صورت تسريع می‌شود. با کنترل سرعت فرسایش ماتریکس می‌توان کاری انجام داد که لایه ژلی تشکیل شده در اطراف سیستم ماتریکسی دوام مناسبی داشته باشد و دارو عمده‌ای در طریق انتشار از لایه ژلی آزاد گردد. عوامل مختلفی در سرعت فرسایش ماتریکس اثر دارد که می‌توان به سرعت به هم خوردن محیط اتحال و pH محیط (به ویژه برای پلیمرهای یونی) اشاره نمود (۲۰). در تفسیر نتایج حاصل از تورم و فرسایش فیلم‌ها می‌توان اینگونه بیان نمود که با افزودن پلیمرهای هیدروفیل هیدروفکسی پروپیل متیل سلولز و پلی‌وینیل پیرولیدون به فرمولاسیون‌ها، به دلیل جذب آب توسط این پلیمرهای هیدروفیل میزان تورم افزایش می‌یابد. در فرمولاسیون‌های F₂، F₃ و F₄ با افزایش مقدار هیدروفکسی پروپیل متیل سلولز، به دلیل تشکیل لایه ژل با استحکام بالا در اطراف فیلم‌ها، میزان فرسایش نسبت به فرمولاسیون F₁ کاهش می‌یابد. در فرمولاسیون‌های F₅، F₆ و F₇ برخلاف فرمولاسیون‌های F₂، F₃ و F₄، مدت زمان مورد نیاز برای اینکه فیلم‌ها به طور کامل وارد محیط اتحال شوند، افزایش نیافته و همان ۹۰ دقیقه می‌باشد. در واقع چون PVP نمی‌تواند یک لایه ژل مستحکم اطراف فیلم‌ها ایجاد نماید و باعث افزایش تخلخل می‌شود، پس نه تنها میزان فرسایش کم نمی‌شود بلکه نسبت به فرمولاسیون F₁ افزایش می‌یابد.

است و پیک پهن تخریب اودرایت در حدود ۲۳۵ درجه سانتی گراد دیده می شود. نتایج نشان می دهد پیک مربوط به نقطه ذوب دارو در بالاتر از ۲۸۰ درجه سانتی گراد، به دماهای بالاتر شیفت یافته است که ناشی از توزیع دارو در پیکره پلیمر و ایجاد حالت محلول در بافت فیلم می باشد. این نتایج به شکل مشابهی در ترمومتر گرام های F_۳ و F_۴ نیز دیده می شود. نتایج حاکی از عدم برهمکنش شیمیایی بین مواد جانبی و دارو است. ترمومتر گرام های مربوطه در تصویر شماره ۱ نشان داده شده است.

طیف FT-IR دیکلوفناک سدیم دارای یک پیک در عدد موج ۳۳۸۸ cm^{-۱} است که مربوط به N-H می باشد. کششی، محدوده ۳۱۵۰-۳۰۵۰ cm^{-۱} مربوط به C-H آروماتیک کششی، عدد موج ۱۴۷۰ cm^{-۱} و ۱۶۰۴ cm^{-۱} مربوط به C=C آروماتیک کششی، پیک ۱۵۷۶ cm^{-۱} مربوط به C=O کربوکسیل کششی و یک پیک در عدد موج ۷۴۸ cm^{-۱} مربوط به C-Cl کششی می باشد.^(۲۶) طیف FT-IR اودرایت ۵۵-۱۰۰ L دارای یک پیک در محدوده ۲۸۵۰-۳۰۰۰ cm^{-۱} است که مربوط به C-H کششی، محدوده ۲۴۰۰-۳۴۰۰ cm^{-۱} مربوط به OH گروه کربوکسیلیک اسید، یک پیک در عدد موج ۱۷۳۸ cm^{-۱} مربوط به C=O استری گروه کربوکسیلیک، یک پیک ۱۷۰۵ cm^{-۱} مربوط به C=O گروه کربوکسیلیک اسید و در محدوده ۱۳۰۰-۱۰۰۰ cm^{-۱} دارای یک پیک مربوط به C-O کششی می باشد. طیف FT-IR پلی وینیل پیرولیدون K25 دارای یک پیک در محدوده ۲۸۵۰-۳۰۰۰ cm^{-۱} مربوط به C-H کششی، عدد موج ۱۶۵۰ cm^{-۱} مربوط به C=O آمیدی کششی و یک پیک در عدد موج ۱۲۹۲ cm^{-۱} مربوط به C-N کششی می باشد. طیف FT-IR هیدروکسی پروپیل متیل سلولز K4M دارای یک پیک در عدد موج ۳۴۴۴ cm^{-۱} مربوط به OH کششی، عدد موج ۲۹۳۰ cm^{-۱} مربوط به C-H کششی، پیک ۱۶۵۰ cm^{-۱} مربوط به C=C کششی و محدوده ۱۰۰۰-۱۳۰۰ cm^{-۱} مربوط به C-O کششی می باشد. طیف های مربوطه در تصویر شماره ۲ نشان داده شده است.

پیاس می باشد که بررسی توان این معادله نشان دهنده غیر متعارف بودن سیستم از دیدگاه مکانیسم رهش است. افزودن پلیمر HPMC به فرمولا سیون فیلم ضمن کاهش رهش، سبب تغییر کیتیک آزادسازی نیز می گردد، به گونه ای که در فرمولا سیون F_۲ کیتیک رهش از مدل درجه یک تبعیت می کند. در فرمولا سیون های F_۳ و F_۴ افزایش میزان HPMC سبب تبعیت از مدل پیاس می گردد و بررسی توان مدل پیاس، مخلوطی از مکانیسم های فرسایش و دیفوژیون را در این امر دخیل می دارد. استفاده از پلیمر PVP نیز در این فیلم ها کیتیک آزادسازی را به سمت مدل درجه یک سوق می دهد. در هر سه فرمولا سیون F_۶، F_۷، Mدل درجه یک، مدل غالب در آزادسازی دارو است.

ترموگرام دیکلوفناک سدیم دارای یک پیک اندوترم نوک تیز می باشد که در ۲۸۵/۷ درجه سانتی گراد شروع می شود و مربوط به نقطه ذوب دارو می باشد. در ابتدای ترمومتر نیز دو اندوترم در محدوده ۵۰ تا ۱۳۰ درجه سانتی گراد دیده می شود. پیک اول کوچک، ناشی از اتلاف اولیه آب موجود در نمونه دارو است و پیک دوم ناشی از ذوب کریستال های سولواوه دیکلوفناک سدیم است که بخش عمده ای از آب متصل به خود را از دست می دهد.^(۲۳) همان گونه که در ترمومتر مربوط به اودرایت ۵۵-۱۰۰ L مشاهده می شود، یک اندوترم پهن از محدوده حدود ۶۵ تا درجه سانتی گراد دیده می شود که مربوط به دمای شیشه ای شدن پلیمر است. در محدوده بالاتر از ۲۲۰ درجه سانتی گراد نیز اندوترم مربوط به تخریب ساختار HPMC K4M پلیمر دیده می شود.^(۲۴) بررسی ترمومتر گرام نیز یک پیک اندوترم در محدوده ۱۰۰ درجه سانتی گراد نشان می دهد که مربوط به تبخیر آب موجود در پلیمر است و پس از آن یک شاخصی دیده نمی شود.^(۲۵) بررسی ترمومتر F_۱ که حاوی اودرایت و دیکلوفناک سدیم است پیک های پهنی در محدوده ۱۲۵ درجه سانتی گراد نشان می دهد که مربوط به دارو



تصویر شماره ۲: طیف‌های FTIR . (a) دیکلوفناک سدیم، (b) اودرایزیت F6 (c) L100-55 (d) HPMC K4M (e) PVP K25 (f) F3

تصویر شماره ۱: طیف‌های DSC . (a) دیکلوفناک سدیم، (b) اودرایزیت F6 (c) L100-55 (d) HPMC K4M (e) F3

سپاسگزاری

این مقاله حاصل بخشی از پایان نامه دوره دکترای حرفه‌ای آقای مسعود عامری می‌باشد. بدین وسیله از حمایت مالی حوزه معاونت محترم پژوهشی دانشگاه علوم پزشکی مازندران تشکر می‌گردد.

در بررسی مخلوط دارو و پلیمرها تغییر مهمی در موقعیت پیک‌ها مشاهده نشد و این امر نشان می‌دهد که تداخل گروه‌های عاملی مواد، از نوع واکنش شیمیایی مشاهده نمی‌شود. این مطلب نتایج مربوط به تفسیر ترمومتری DSC را ثابت می‌کند.

References

- Prajpati V, Bansal M, Kumar Sh. Mucoadhesive buccal patches and use of natural polymer in its preparation. *Inter J Pharm Res* 2012; 4: 582-589.
- Chaudhary R, Qureshi MDS, Patel J, Panigrahi UP, Giri IC. Formulation development and in-vitro evaluation of mucoadhesive buccal patches of methotrexate. *Inter J Pharm Sci Res* 2010; 1: 357-65.
- Hearnden V, Sankar V, Hull K, Juras D, Greenberg M. New development and opportunities in oral mucosal drug delivery for local and systemic disease. *Adv Drug Delivery Rev* 2012; 64: 16-28.
- Juninger HE, Hoogstraate JA, Verhoef JC. Recent advances in buccal drug delivery and absorption: in vitro and in vivo studies. *J Control Rel* 1999; 62: 149-159.
- Salamat-Miller N, Chitchang M, Johnston T. The use of mucoadhesive polymers in buccal drug delivery. *Adv Drug Del Rev* 2005; 57: 1666-1691.
- Anders R, Merkle HP. Evaluation of laminated mucoadhesive patches for buccal drug delivery. *Int J Pharm* 1989; 49: 231-240.
- Patel V, Prajpati B, Patel M. Effect of hydrophilic polymers on bioadhesive eudragit patches of propranolol HCl using factorial design. *AAPS Pharm Sci Tech* 2007; 8: E1-E8.
- Patel JM, Patel VB, Muley S. Formulation and evaluation of polymeric buccoadhesive film of carvedilol. *Curr Pharm Res* 2012; 2: 546-552.
- Choudhury A, Das S, Dhangar S, Kapasiya S, Kanango A. Development and characterization of buccoadhesive film of ciprofloxacin HCl. *Inter J Pharm Res* 2010; 2: 1050-1057.
- Sweetman SC. Martindale. The complete drug reference. 36th ed., London: Pharmaceutical Press: 2009.
- Balasubramanian J, Narayanan N, Kumar M, Kumar N, Azhagesh, RK. Formulation and evaluation of mucoadhesive buccal films of diclofenac sodium. *Indian J Innov Dev* 2012; 1: 68-73.
- Akbari J, Saeedi M, Enayatifare R, Saghebdoost M. Development and evaluation of mucoadhesive chlorhexidine tablet formulations. *Trop J Pharm Res* 2010; 9: 321-327.
- Akbari J, Nokhodchi A, Farid D, Adrangui M, Siahi-Shabdar MR, Saeedi M. Development and evaluation of buccoadhesive propranolol hydrochloride tablet formulations: effect of fillers. *IL Farmaco* 2004; 59: 155-161.

14. Swarbrick J. Encyclopedia of pharmaceutical technology. 4th ed. New York: Maecel Dekker; 1991.
15. Beveja SK. A novel method to measure the swelling front in swelling controlled-release system. *Inter J Pharm* 1991; 47: 156.
16. Dash S, Murthy PN, Nath L, Chowdhury P. Kinetic modeling on drug release from controlled drug delivery systems. *Acta Polonia. PharmDrug Res* 2010; 67: 217-223.
17. Ritger PL, Peppas NA. A simple equation for description of solute release. II. Fickian and anomalous release from swellable devices. *J Control Rel* 1987; 5: 37-42.
18. Kumar P, Chhabra G, Pathak K. Development and statistical optimization of buccoadhesive films of amiloride HCl: In-vitro and ex-vivo evaluation. *Ind J Pharm Edu Res* 2012; 46: 145-154.
19. Abha D, Sheeba K, Bhagyashri J. Design and evaluation of buccal film of diclofenac sodium. *Int J Pharm Bio Sci* 2011; 1: 17-30.
20. Sinha Roy D, Rohera D. Comparative evaluation of rate of hydration and matrix erosion of HEC and HPC and study of drug release from their matrices. *Eur J Pharm* 2002; 16: 193-199.
21. Yellanki S, Bigala R, Ali syed J, Kumar S, Goranti S. Design and in vitro evaluation of mucoadhesive minitablets for nasal drug delivery of sumatriptan. *Asian J Pharm Clin Res* 2010; 3: 218-220.
22. Allad K, Suram R, Bela M, Ramaesh S, Narendra Y. Formulation and characterization for claritromycin controlled release tablets. *J Chem Pharm Res* 2011; 3: 648-690.
23. Bartolomei M, Bertocchi P, Antoniela E, Rodomont A. Physico-chemical characterization and intrinsic dissolution studies of a new hydrate form of diclofenac sodium: comparison with anhydrous form. *J Pharm Biomed Anal* 2006; 40: 1105-1113.
24. Qiao M, Zhang L, Ma Y, Zhu J, Xiao W. A novel electrostatic dry coating process for enteric coating of tablets with eudragit L100-55. *Eur J Pharm Biopharm* 2013; 83: 293-300.
25. Ochoa L, Igartua M, Hernandez RM, Gascon AR, Pedraz JL. Preparation of sustained release hydrophilic matrices by melt granulation in a high-shear mixer. *J Pharm Pharmaceut Sci* 2005; 8: 132-140.
26. Bharathi A, Kalyana N, Ramana G, Veeranjaneyulu M, Sirisha A, Kamala P. Formulation and in vitro evaluation of diclofenac sodium sustained release matrix tablets using melt geranulation technique. *Int J Res Pharm Bio Sci* 2011; 2: 788-808.

ORIGINAL ARTICLE

The Effect of Type and amount of Polymer on the Bioadhesive Properties and Drug Release of Diclofenac Sodium Buccoadhesive Films

Jafar Abrari¹,
Majid Saeedi²,
Katayoun Morteza-Semnani³,
Masood Ameri⁴

¹ Associate Professor, Department of Pharmaceutics, Faculty of Pharmacy, Mazandaran University of Medical Sciences, Sari, Iran

² Professor, Pharmaceutical Sciences Research Centre, Mazandaran University of Medical Sciences, Sari, Iran

³ Professor, Department of Medicinal Chemistry, Faculty of Pharmacy, Mazandaran University of Medical Sciences, Sari, Iran

⁴ Student Research Committee, Mazandaran University of Medical Sciences, Sari, Iran

(Received January 8, 2013 ; Accepted May 11, 2014)

Abstract

Background and purpose: Buccal delivery of drug provides an attractive alternative to the oral route of drug administration and a convenient route of administration for both systemic and local drug delivery. Absorption of therapeutic agents from the oral cavity provides a direct entry for such agents into the systemic circulation, thereby avoiding first-pass metabolism and gastrointestinal degradation. The objective of this study was to develop and characterize mucoadhesive buccal films from diclofenac sodium.

Material and Methods: Buccal films containing diclofenac sodium were prepared using solvent casting method. Eudragit L₁₀₀₋₅₅ was used as film forming polymer, and HPMC K₄M and PVP K25 were used as mucoadhesive polymers. The effect of type and amount of polymer on drug release rate, swelling and erosion rate and the Mucoadhesion strength were evaluated.

Results: HPMC K₄M decreased the rate of drug release but adding PVP K25 increased the drug release. Adding hydrophilic polymers such as HPMC K₄M, and PVP K25, significantly increased the swelling percentage. Moreover, increase in HPMC K₄M amount, decreased the erosion percentage and increased the mucoadhesive strength.

Conclusion: Eudragit buccal films can be successfully used as a mucoadhesive carrier in buccal drug delivery systems for drugs with high first-pass metabolism. Also, this study proved the effect of hydrophilic polymers on drug release profile and other properties of the films.

Keywords: Buccal film, mucoadhesive, diclofenac, eudragit L₁₀₀₋₅₅

J Mazandaran Univ Med Sci 2014; 24(113): 92-103 (Persian).